

Spin-dependent electronic transmission coefficient of a nanostructure in the free-electron approximation by transfer matrix method

Zahra Moein¹, Mohammad Mardaani^{*,1,2}, Hassan Rabani^{1,2}

¹Department of Physics, Faculty of Science, Shahrekord University, P. O. Box 115, Shahrekord, Iran

²Nanotechnology Research Center, Shahrekord University, 8818634141, Shahrekord, Iran

Received: 26.02.2023 Final revised: 25.06.2023 Accepted: 10.07.2023

Doi: [10.22055/jrms.2023.18418](https://doi.org/10.22055/jrms.2023.18418)

Abstract

In this paper, based on the transfer matrix method and within the free electron approximation, we study spin-dependent electronic transport through an array of magnetic quantum barriers. For this purpose, we first write the Schrodinger equation for the electron in the presence of barrier potentials and the magnetic field originating from system magnetic moments. Then, by its discretization, we reach a system of linear equations. In the following, by using the transfer matrix method for this system of equations, we obtain the spin-dependent transmission coefficients of the electron. With the help of present formalism, one can calculate the spin-dependent transmission coefficient of a transmitted electron through a magnetic multi-layer as a function of electron energy, magnitude and orientation of the magnetic moment, and the potential shape. Finally, as an example, the numerical results are presented for two cases, the one including two similar alternative magnetic barriers and the other including two alternative barriers and well. The presented method is useful for the study of the spin-dependent electronic conductance behavior of magnetic layers and superlattices.

Keywords: Quantum barrier, transfer matrix, spin-dependent conductance, free-electron approximation

* Corresponding Author: mohammad-m@sku.ac.ir

ضریب عبور الکترونی وابسته به اسپین یک نانو ساختار در تقریب الکترون

آزاد با روش ماتریس انتقال

زهرا معین^۱، محمد مردانی^{۱، ۲*}، حسن ربانی^{۱، ۲}

^۱گروه فیزیک، دانشکده علوم پایه، دانشگاه شهرکرد، شهرکرد، ایران

^۲مرکز پژوهشی فناوری نانو، دانشگاه شهرکرد، شهرکرد، ایران

دریافت: ۱۴۰۱/۱۲/۰۷ ویرایش نهایی: ۱۴۰۲/۰۴/۰۴ پذیرش: ۱۴۰۲/۰۴/۱۹

Doi: [10.22055/jrmbs.2023.18418](https://doi.org/10.22055/jrmbs.2023.18418)

چکیده

در این مقاله، بر اساس روش ماتریس انتقال و در تقریب الکترون آزاد به‌منظمه تحلیلی ترابرد الکترونی وابسته به اسپین الکترونی از یک آرایه سدهای کوآنتمی مغناطیسی می‌پردازیم. برای این منظور، ابتدا معادله شرودینگر الکترون را در حضور پتانسیل‌های سدها و میدان مغناطیسی ناشی از ممان‌های مغناطیسی سامانه نوشتند و سپس با گسته‌سازی آن به‌یک دستگاه معادلات خطی می‌رسیم. در ادامه با استفاده از روش ماتریس انتقال برای این دستگاه معادلات، ضرایب عبور وابسته به اسپین الکترون را به‌دست می‌آوریم. با فرمول‌بندی حاضر می‌توان ضرایب عبور وابسته به اسپین یک الکترون گذرنده از چند لایه مغناطیسی را به صورت تابعی از انرژی الکترون، اندازه و جهت ممان مغناطیسی و شکل پتانسیل محاسبه کرد. در پایان نیز به عنوان مثال نتایج عددی را برای دو مورد یکی شامل دو سد مشابه مغناطیسی متوازی و دیگری شامل یک سد و چاه مغناطیسی متوازی ارائه می‌دهیم. روش ارائه شده برای بررسی رفتار رسانش الکترونی وابسته به اسپین لایه‌ها یا ابرشبکه‌های مغناطیسی مناسب است.

کلیدواژگان: سد کوآنتمی، ماتریس انتقال، رسانش وابسته به اسپین، تقریب الکترون آزاد

و پیش‌بینی پدیده‌های غیر معمول وابسته به اسپین در ابعاد کوچک است [۲]. ترابرد وابسته به اسپین در ابتداء توسط آزمایش‌های تdroو و مسروئی کشف شد که با استفاده از لایه‌های ابرسانا به عنوان آشکارساز، قطبش اسپینی جریان تونل زنی اندازه‌گیری گردید [۳]. نانوسیم‌های مغناطیسی به عنوان قطعات الکتریکی بر پایه اسپین الکترون در نظر گرفته می‌شوند و از طرف دیگر پراکندگی وارونی اسپین نیز در آنها رخ می‌دهد. بنابراین کترول جریان وابسته به اسپین در ادوات اسپیترونیک بسیار مهم است. ترابرد وابسته به اسپین را می‌توان از طریق میدان مغناطیسی ورودی و ولتاژ اعمالی کترول کرد [۵]. مطالعات نظری بسیاری در رابطه با موضوع ترابرد الکترونی در نانوساختارهایی مانند

مقدمه

ترابرد وابسته به اسپین در نانوساختارها به‌دلیل اهمیت آن در تحقیقات بنیادی و کاربردهای فراوان توجه زیادی را به‌خود جلب کرده است. افزایش علاقه به‌این موضوع از دو عامل عمدۀ ناشی می‌شود. اولین مورد، پیشرفت در تولید و ساخت نانوساختارهای چندگانه با بعد کم است که دارای خواص الکتریکی جالبی بوده و به اسپین الکترون بسیار حساس هستند. به عنوان مثال خصوصیات فیزیک دستگاه‌های موسوم به اسپین الکترونیک یا به‌طور مختصر اسپیترونیک را می‌توان با قطبش اسپین الکترون کترول کرد [۱، ۲]. دومین مورد، استفاده از رویکردهای نظری برای توجیه

mohammad-m@sku.ac.ir *

باز نشر این مقاله با ذکر منبع آزاد است.

این مقاله تحت مجوز کریتبو کامنز تخصیص ۴.۰ بین‌المللی می‌باشد



که در آن $(x) V$ پتانسیل مربوط به ناحیه پراکنده است مرکزی است و فرض شده است که در نواحی دیگر (هادی‌ها) مقدار آن صفر است. همچنین I نشان‌دهنده یک ماتریس واحد 2×2 است. در رابطه بالا فرض می‌شود جمله $\vec{h}(x) \cdot \vec{\sigma}$ که از برهم‌کنش اسپین الکترون با میدان مغناطیسی ناشی می‌شود، در همان ناحیه مرکزی وجود دارد. اندازه بردار $(\vec{h}(x))$ در دستگاه SI یکای به صورت

$$(h(x) = eg \hbar B(x) / (4m_e))$$

به ترتیب بار و جرم الکترون، g ضریب ریرومغناطیسی آن و $B(x)$ اندازه میدان مغناطیسی در مکان x هستند [۸]. همچنین $\vec{\sigma}$ یک عملگر برداری با مؤلفه‌های ماتریس‌های پائولی الکترون است. بنابراین داریم:

$$\vec{h}(x) \cdot \vec{\sigma} = h(x) \begin{pmatrix} \cos \theta & \sin \theta e^{-i\varphi} \\ \sin \theta e^{i\varphi} & -\cos \theta \end{pmatrix}, \quad ۲$$

که در آن θ و φ به ترتیب زاویه‌های قطبی و سمتی بردار ضریب وارونگی اسپینی در ناحیه مرکزی هستند. بدون از دست دادن کلیت مسئله φ را صفر در نظر می‌گیریم. معادله شرودینگر الکترون‌های با اسپین بالا و پائین در این ناحیه، پس از گسسته‌سازی چنینند:

$$\psi_{p+1}^{\uparrow} = -h \sin \theta / \beta \psi_p^{\downarrow} - \psi_{p-1}^{\uparrow} + (2 + (V_p - h \cos \theta - \varepsilon) / \beta) \psi_p^{\uparrow}, \quad \text{الف}$$

$$\psi_{p+1}^{\downarrow} = -h \sin \theta / \beta \psi_p^{\uparrow} - \psi_{p-1}^{\downarrow} + (2 + (V_p + h \cos \theta - \varepsilon) / \beta) \psi_p^{\downarrow}, \quad \text{ب}$$

که در آن $N = 1, \dots, p$ و $\beta = \hbar^2 / 2ma^2$ می‌توان انرژی پرش الکترونی با جرم m ، بین گام‌های p و $p+1$ به فاصله a (طول گام) تصور کرد. در اینجا ε انرژی الکترون و V_p پتانسیل احساس شونده در گام p است. در رهیافت ماتریس انتقال، توابع موج

سیم‌ها و نقطه‌های کوآنتمومی مغناطیسی انجام شده است [۶-۷]. به طور مثال مغناطورسانش یک نانوساختار شامل دو مانع مغناطیسی واقعی مورد بررسی نظری قرار گرفته و مقدار قطبش اسپینی برای الکترون گذرنده نسبت به مقدار میدان مغناطیسی بهینه شده است [۲]. همچنین مقاله‌های مروری متعدد به مدل‌های نظری ترابرد وابسته به اسپین ساختارهای شامل لایه‌های مغناطیسی اشاره کرده است [۹].

در مقاله حاضر، در ادامه کارهای گذشته نویسنده‌گان مقاله [۵-۷] به بررسی نظری رسانش الکترونی وابسته به اسپین یک الکترون از یک آرایه از سدهای کوآنتمومی مغناطیسی در رژیم پروازی می‌پردازیم. هدف اصلی ما ارائه یک روش سریع و ساده مبتنی بر روش ماتریس انتقال با بهره‌گیری از تقریب الکترون آزاد جهت محاسبه ضریب عبور وابسته به اسپین یک الکترون گذرنده از یک یا چند لایه مغناطیسی است.

فرمول‌بندی

روش ماتریس انتقال، روشی ساده برای محاسبه و بررسی خواص ترابردی یک نانو ساختار است. در این روش می‌توان ضرایب عبور و بازتاب یک الکترون با تابع موج مشخص را پس از عبور از یک ساختار لایه‌ای، به دست آورد [۸]. در این مقاله به کمک این روش قصد داریم یک الگوریتم عددی برای محاسبه سریع ضریب عبور وابسته به اسپین یک الکترون با گسسته‌سازی معادله شرودینگر آن، تحت تأثیر پتانسیل‌هایی که با بار و اسپین الکترون برهم‌کنش دارند، ارائه کنیم. در مدل الکترون آزاد، هامیلتونی الکترون در راستای محور ساختار مغناطیسی، به صورت زیر است

$$\mathbf{H} = \left(-\frac{\hbar^2}{2m} \frac{d^2}{dx^2} + V(x) \right) I - \vec{h}(x) \cdot \vec{\sigma}, \quad ۱$$

اسپین الکترون پایین است، محاسبات را انجام داد. برای به دست آوردن دامنه‌های ضرایب عبور از دستور ساروس استفاده می‌کنیم. بدین منظور ماتریس ضرایب $M = (\bar{M}_1, \bar{M}_2, \bar{M}_3, \bar{M}_4)$ در رابطه ۵ را با نشان می‌دهیم که \bar{M}_p نشان دهنده بردار شامل درایه‌های ستون p است. همچنین با تعریف:

$$B = - \begin{pmatrix} M_{11} + M_{12} + (M_{13} + M_{14})e^{-ika} \\ M_{21} + M_{22} + (M_{23} + M_{24})e^{-ika} \\ M_{31} + M_{32} + (M_{33} + M_{34})e^{-ika} \\ M_{41} + M_{42} + (M_{43} + M_{44})e^{-ika} \end{pmatrix},$$

خواهیم داشت:

$$t_{\uparrow\uparrow} = \frac{\det(B, \bar{M}_2, \bar{M}_3, \bar{M}_4)}{\det(M)}, \quad \text{۷}$$

$$t_{\uparrow\downarrow} = \frac{\det(\bar{M}_1, B, \bar{M}_3, \bar{M}_4)}{\det(M)}, \quad \text{۸}$$

که در آن عبارت‌های $(B, \bar{M}_2, \bar{M}_3, \bar{M}_4)$ و $(\bar{M}_1, B, \bar{M}_3, \bar{M}_4)$ ماتریس M شود. در پایان ضریب عبور الکترونی که بیانگر احتمال عبور الکترونی است که با اسپین \uparrow وارد ناحیه مرکزی شده و با اسپین σ از آن خارج می‌شود، به صورت

$$T_{\uparrow\sigma} = |t_{\uparrow\sigma}|^2 = t_{\uparrow\sigma}^* t_{\uparrow\sigma} \quad \text{به دست می‌آید.}$$

نتایج محاسبات عددی

در این بخش مطابق شکل ۱ رسانش الکترونی سامانه‌ای را که شامل دو سد مغناطیسی است، محاسبه می‌کنیم. سدها را به عرض‌های b_1 و b_2 ، ارتفاع‌های V_1 و V_2 و پارامتر وارونگی اسپینی h_1 و h_2 با جهات θ_1 و θ_2 که به فاصله d از هم قرار دارند، فرض می‌کنیم. به عنوان مثال دو مورد را بررسی می‌کنیم:

الکترون در طرفین ناحیه مرکزی به صورت زیر به یکدیگر مربوط می‌شوند:

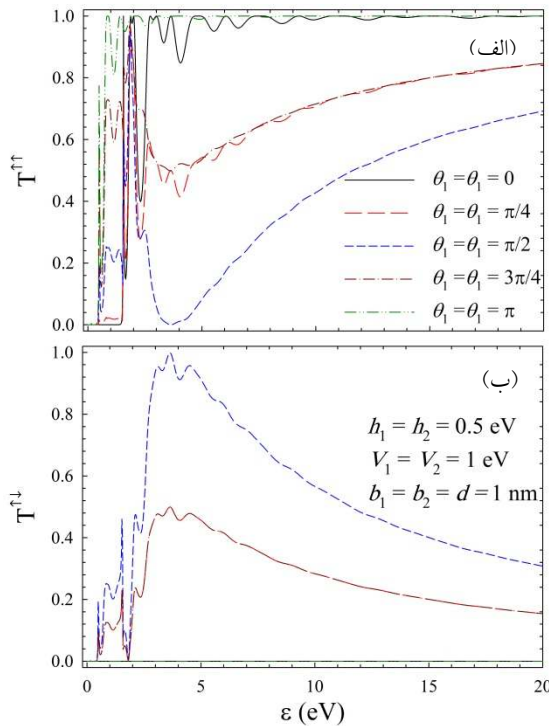
$$\begin{pmatrix} \psi_{N+2}^{\uparrow} \\ \psi_{N+2}^{\downarrow} \\ \psi_{N+1}^{\uparrow} \\ \psi_{N+1}^{\downarrow} \end{pmatrix} = M_{N+1} \dots M_0 \begin{pmatrix} \psi_0^{\uparrow} \\ \psi_0^{\downarrow} \\ \psi_{-1}^{\uparrow} \\ \psi_{-1}^{\downarrow} \end{pmatrix}, \quad \text{۹}$$

که در آن M_p ها ماتریس‌های 4×4 هستند که ارتباط توابع موج بین گام‌های p و $p+1$ را با توجه به روابط ۳ مشخص می‌کنند. بدیهی است با توجه به فرض آزاد بودن الکترون در هادی‌ها که $\psi_{-1} = 0$ ، $\psi_{N+1} = \psi_{N+2}$ مقادیر مربوط به توابع موج تخت با ترکیب خطی از $\exp(\pm ikpa)$ برای الکترون آزاد را اختیار می‌کنند که k عدد موج الکترون است. می‌توان عبارت بالا را به شکل زیر نوشت:

$$\begin{pmatrix} t_{\uparrow\uparrow} e^{ika(N+2)} \\ t_{\uparrow\downarrow} e^{ika(N+2)} \\ t_{\uparrow\uparrow} e^{ika(N+1)} \\ t_{\uparrow\downarrow} e^{ika(N+1)} \end{pmatrix} = M \begin{pmatrix} 1 + r_{\uparrow\uparrow} \\ 1 + r_{\uparrow\downarrow} \\ e^{-ika} + r_{\uparrow\uparrow} e^{ika} \\ e^{-ika} + r_{\uparrow\downarrow} e^{ika} \end{pmatrix}, \quad \text{۱۰}$$

$$M = \begin{pmatrix} M_{11} & M_{12} & M_{13} & M_{14} \\ M_{21} & M_{22} & M_{23} & M_{24} \\ M_{31} & M_{32} & M_{33} & M_{34} \\ M_{41} & M_{42} & M_{43} & M_{44} \end{pmatrix}$$

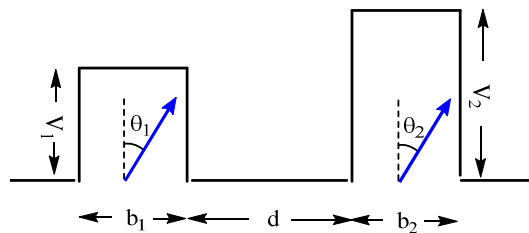
که در آن $t_{\uparrow\sigma}$ ، دامنه ضریب عبور الکترونی است که با اسپین \uparrow وارد ناحیه مرکزی شده و با اسپین σ از آن خارج می‌شود و $r_{\uparrow\sigma}$ دامنه ضریب بازتاب آن برای برخورد با اسپین \uparrow به ناحیه مرکزی و بازتاب با اسپین σ است. عناصر $M_{p,q}$ ماتریس میانی نیز از حاصل ضرب ماتریسی رابطه ۴ به دست می‌آیند. لازم به ذکر است که در اینجا فرض شده است که اسپین الکترون عبوری در هادی چپ دارای اسپین بالا بوده است. می‌توان به طریق مشابه برای مورد دیگر نیز که



شکل ۲. نمودار ضریب عبور، (الف) $T_{\uparrow\downarrow}$ ، (ب) $T_{\downarrow\uparrow}$ بر حسب انرژی الکترون عبوری از دو سد مغناطیسی متواالی برای چند مقدار متفاوت زاویه قطبش مغناطیسی گشتاور دو قطبی مغناطیسی داخل سدها. اطلاعات مندرج روی شکل‌ها برای هر دو قسمت الف و ب است.

در شکل ۳ نمودار ضریب عبور الکترونی وابسته به اسپین بر حسب انرژی الکترون عبوری برای مورد سد و چاه متواالی در چند مقدار متفاوت زاویه قطبش مغناطیسی، نشان داده شده است. در اینجا نیز مشاهده می‌شود که وقتی $\theta_1 = \theta_3 = 0, \pi$ است، وارونی اسپین اتفاق نمی‌افتد و تنها کanal رسانش الکترونی $T_{\uparrow\downarrow}$ است. برای مقادیر دیگر زوایای قطبش مغناطیسی، رسانش الکترونی از هر دو کanal اسپینی صورت می‌گیرد. با توجه به نتایج به دست آمده سدها یا چاههای کوانتوسی را به گونه‌ای کنار هم چید که در یک انرژی فرمی خاص $T_{\uparrow\downarrow}$ بیشترین مقدار را داشته باشد. این بدان معنی است که احتمال رخ دادن فیلتر اسپینی بیشتر می‌شود.

مورد اول دو سد پتانسیل یک الکترون‌ولتی به پهنهای یک نانومتر که به فاصله یک نانومتر از هم قرار دارند و مورد دیگر همانند مورد قبلی با این تفاوت که پتانسیل یکی از سدها را منفی در نظر می‌گیریم. در واقع مورد اول دو سد متواالی و مورد دوم یک سد و یک چاه متواالی هستند. همچنین مقدار پارامتر وارونگی اسپینی در هر سد یا چاه را 0.5eV انتخاب می‌کنیم و بنابراین ضریب عبور الکترونی وابسته به اسپین را به صورت تابعی از زاویه قطبش مغناطیسی در سدها و انرژی الکترون ورودی مورد بررسی قرار می‌دهیم.



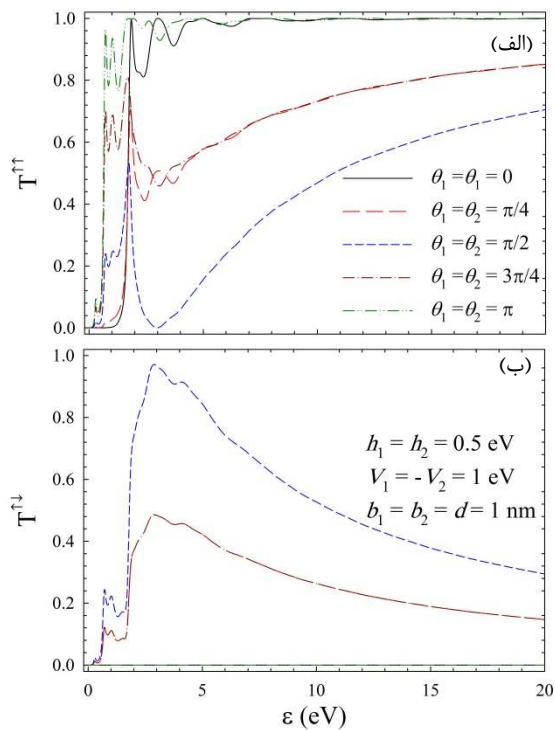
شکل ۱. پتانسیل یک سد دوگانه مغناطیسی. بردارهای داخل سدها نشان‌دهنده بردار وارونگی اسپینی متناسب با میدان مغناطیسی داخل هر سد هستند.

نمودارهای ضرایب عبور الکترونی وابسته به اسپین بر حسب انرژی دو سد متواالی مشابه، برای چند مقدار متفاوت زاویه قطبش مغناطیسی، در شکل ۲ نشان داده شده است. در سامانه‌های مغناطیسی، وارونی اسپینی می‌تواند بسته به مقدار زاویه قطبش مغناطیسی رخ دهد. بنابراین ضریب $T_{\downarrow\uparrow}$ هم در ترابرد الکترونی سهیم است. همان‌طور که در شکل ۲ مشاهده می‌کنیم، زمانی که $\theta_1 = \theta_2 = 0, \pi$ است، وارونی اسپین اتفاق نمی‌افتد و ترابرد الکترونی فقط از طریق کanal $T_{\uparrow\uparrow}$ انجام می‌شود. بدیهی است که در انرژی‌های پایین، ساز و کار عبور الکترون از سدها توانلزنی است. در انرژی‌های بالای $T_{\uparrow\uparrow}$ کاهش یافته و هر دو تابع، شکل یکنواختی به خود خواهند گرفت.

ماتریس انتقال را در تقریب الکترون آزاد تعمیم داده و ضرایب عبور وابسته به اسپین را برای عبور الکترون از یک آرایه سدهای کوآنتومی مغناطیسی به دست آورده‌یم. در این مقاله ما به ذکر دو مثال، یکی شامل دو سد کوآنتومی مشابه مغناطیسی متواالی و دیگری شامل یک سد و چاه کوآنتومی مغناطیسی متواالی پرداخته و نتایج عددی را ارائه دادیم. روابط به دست آمده در این مقاله از نظر محاسبات عددی نسبت به روش‌های تابع گرین [۱۰] و معادله بولتزمن [۸] از الگوریتم ساده‌تر و سرعت بسیار بالاتری برخوردار بوده و برای بررسی رسانش الکترونی وابسته به اسپین لایه‌ها و ابرشبکه‌های مغناطیسی کاربرد دارد. لازم به ذکر است که در اکثر متون علمی از روش ماتریس انتقال در غیاب میدان مغناطیسی بهره‌برداری شده در حالی که در اینجا این روش برای موردی که اسپین الکترون گذرنده از سامانه با میدان‌های حاضر در سامانه برهم‌کنش دارد، تعمیم داده شده است.

مرجع‌ها

- [1] K. Pasanai, S. Thasitha, P. Saokaew, Theory of charge and spin transport across magnetic tunnel junction with bilayer insulator tunnel barriers, *Physica E* 127 (2021) 114490.
<https://doi.org/10.1016/j.physe.2020.114490>
- [2] M. Lu, L. Zhang, Y. Jin, X. Yan, Spin-dependent tunneling in nanostructures consisting of magnetic barriers, *The European Physical Journal B - Condensed Matter and Complex Systems* volume 27 (2002) 565-570.
<https://doi.org/10.1140/epjb/e2002-00190-1>
- [3] P.M. Tedrow, R. Meservey, Spin-Dependent Tunneling into Ferromagnetic Nickel, *Physical Review Letters* 26 (1971) 192.
<https://doi.org/10.1103/PhysRevLett.26.192>



شکل ۳ نمودار ضریب عبور، الف: $T_{\uparrow\uparrow}$ بر حسب انرژی الکترون عبوری از یک سد و یک چاه مغناطیسی متواالی برای چند مقدار متفاوت زاویه قطبش مغناطیسی گشتاور دو قطبی مغناطیسی داخل سدها. اطلاعات مندرج روی شکل‌ها برای هر دو قسمت الف و ب است.

اگر بخواهیم مقایسه‌ای بین شکل‌های ۲ و ۳ ارائه دهیم، ذکر این نکته قابل توجه است که هر گاه انرژی الکترون عبوری با پتانسیل مربوط به عمق چاه یا ارتفاع سد، هم مرتبه باشد، رفتار ضریب عبور الکترونی برای این دو سامانه متفاوت است. به خصوص در این محدوده انرژی، نوسان‌های بیشتری در مورد دو سد متواالی (شکل ۲) نسبت به مورد سد و چاه متواالی (شکل ۳) در طیف رسانش مشاهده می‌شود. بدیهی است که در انرژی‌های بالا ضریب عبور الکترون گذرنده تقریباً مستقل از شکل پتانسیل پراکننده است.

نتیجه‌گیری

در این مقاله با گستره‌سازی معادله شرودینگر شامل میدان مغناطیسی برهم‌کنش کننده با اسپین الکترون و به دست آوردن یک دستگاه معادلات خطی، روش

- [7] M. Mardaani, A.A. Shokri, Theoretical approach on spin-dependent conductance in a magnetic-quantum wire, *Chemical Physics* 324 (2006) 541-546.
<https://doi.org/10.1016/j.chemphys.2005.11.041>
- [8] G. Grosso, G.P. Parravicini, *Solid State Physics*, second ed., Academic Press, (2013).
- [9] E.Y Tsymbal, O.N. Mryasov, P.R LeClair, Spin-dependent tunnelling in magnetic tunnel junctions, *Journal of Physics: Condensed Matter* 15 (2003) R109. [10.1088/0953-8984/15/4/201](https://doi.org/10.1088/0953-8984/15/4/201)
- [10] H. Rabani, M. Mardaani, A solvable model for spin-dependent electronic transmission of ferromagnetic nanowires, *Solid State Commun.* 191 (2014) 35-39.
<https://doi.org/10.1016/j.ssc.2014.04.022>
- [4] M. Mardaani, H. Rabani, Z. Baharloo, The effect of rotation of magnetic moment defects on the spin-dependent conductance of a ferromagnetic nanowire, *Iranian Journal of Physics Research* 13 (2013) 198-202.
https://ijpr.iut.ac.ir/article_1031.html?lang=en
- [5] D. Pullini, D. Busquets, A. Ruotolo, G. Innocenti, V. Amigó, Insights into pulsed electrodeposition of GMR multilayered nanowires, *Journal of Magnetism and Magnetic Materials* 316 (2007) 242-245.
<https://doi.org/10.1016/j.jmmm.2007.02.102>
- [6] A.A. Shokri, M. Mardaani, K. Esfarjani, Spin filtering and spin diode devices in quantum wire systems, *Physica E* 27 (2005) 325-331.
<https://doi.org/10.1016/j.physe.2004.12.008>